

III-29 弾床梁(有限長さ)解法の基本式とその応用例

日本道路公団 高速道路大阪建設局 正会員 佐藤 昭

§1 序論

ここで 弾床梁とは 連続した弾性支承で拘束される直線梁を指す。

一般に弾床梁の計算では 梁長を無限とある仮定が多いが、始めから無限の仮定を用いれば 設計において必要な梁長を算出するのに不合理があり、又 短い梁を計算する場合 適用の限界について疑問ができる。そこで検討したところ 適当な係数の表さえ完成すれば 梁長を^(無限と)仮定しなくとも 手数に変わりなく計算できることが分った。かつとも 実際に計算した結果では、梁長が或る程度に違ると 梁長を実際の4のを用いても、無限と仮定しても殆んど差がなくなる。これは 従来行われてきた方法が 大局的には正しいことを示している。しかしこのために 作るべき表の範囲が狭くなったので、作製の手数がなすかつたと云える。以下 その計算に用いた最も基本的な式の一部と、2, 3の応用例を 極く簡単に紹介したいと思う。

§2 梁の各点に関する式

周知のように 弾床梁の形を示す微分方程式とその一般解は 次の通りである。

$$-EI \frac{d^4 y}{dx^4} = K \cdot y \cdot d \quad (2-1)$$

$$y = e^{\beta x} (A \cos \beta x + B \sin \beta x) + e^{-\beta x} (C \cos \beta x + D \sin \beta x) \quad (2-2)$$

(2-2)は 積分定数4個を含むので 定数の値を決めるには 矛盾重複のない 4つの境界条件があればよい。この条件を図2-1により 次のように決める。 $M_{x=0} = M_0$ $Q_{x=0} = Q_0$ $M_{x=l} = 0$ $Q_{x=l} = 0$

このように 条件を決めれば、梁の中の任意の真んにおける 変位、回転角、曲げモーメント、剪断力の値は A, B, C, Dの値と位置による函数で表わされ、次のような形に整理すると

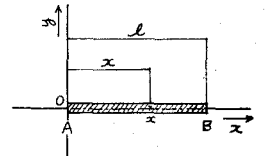


図2-1

$$y_x = \frac{1}{2EI\beta^2} \left\{ M_0 \cdot \Phi_y(M_0, \alpha, \beta x) + \frac{Q_0}{\beta} \cdot \Phi_y(Q_0, \alpha, \beta x) \right\} \quad (2-3)$$

$$\theta_x = \frac{1}{2EI\beta} \left\{ M_0 \cdot \Phi_\theta(M_0, \alpha, \beta x) + \frac{Q_0}{\beta} \cdot \Phi_\theta(Q_0, \alpha, \beta x) \right\} \quad (2-4)$$

$$M_x = M_0 \cdot \Phi_M(M_0, \alpha, \beta x) + \frac{Q_0}{\beta} \cdot \Phi_M(Q_0, \alpha, \beta x) \quad (2-5)$$

$$Q_x = \beta M_0 \cdot \Phi_Q(M_0, \alpha, \beta x) + Q_0 \cdot \Phi_Q(Q_0, \alpha, \beta x) \quad (2-6)$$

$\Phi_y(M_0, \alpha, \beta x)$, $\Phi_Q(Q_0, \alpha, \beta x)$ は $\beta l (= \alpha)$ と βx のみで決る。実用的な範囲で 適当な間隔の α , βx 毎に これらの係数の値を計算して表に作っておけば (2-3) ~ (2-6) の計算は 極めて容易である。(2-3) ~ (2-6) によって 梁端の曲げモーメントおよび剪断力さえわかれば、梁の任意の真ん 上記各値は容易に求まるわけである。上記の係数を総稱して 係数 Φ とする。係数 Φ は §4で説明する $\Phi_M(M_0, \beta x)$ $\Phi_Q(Q_0, \beta x)$ を含む4つとある。

§ 3 梁端に関する式

(2-3), (2-4)で $\beta x = 0$ とおくと

$$y_0 = \frac{1}{2EI\beta^2} \left\{ M_0 \cdot \mu_y(M_0, \alpha) + \frac{Q_0}{\beta} \cdot \mu_y(0, \alpha) \right\} \quad (3-1)$$

$$\theta_0 = \frac{1}{2EI\beta} \left\{ M_0 \cdot \mu_\theta(M_0, \alpha) + \frac{Q_0}{\beta} \cdot \mu_\theta(0, \alpha) \right\} \quad (3-2)$$

(3-1), (3-2)より Q_0 または M_0 を消去すると

$$M_0 = 2EI\beta^2 \left\{ y_0 \cdot \mu_M(y_0, \alpha) + \frac{\theta_0}{\beta} \cdot \mu_M(0, \alpha) \right\} \quad (3-3)$$

$$Q_0 = 2EI\beta^3 \left\{ y_0 \cdot \mu_Q(y_0, \alpha) + \frac{\theta_0}{\beta} \cdot \mu_Q(0, \alpha) \right\} \quad (3-4)$$

$\mu_y(M_0, \alpha), \dots, \mu_Q(0, \alpha)$ を総稱して係数 μ とすると、係数 μ は係数 α の $\beta x = 0$ とした値で α のみで決まる。

(3-1) ~ (3-4) で、梁端においては y_0, θ_0, M_0, Q_0 のうち、いづれが二つ決まれば他は自動的に決ることがわかる。(3-1) ~ (3-4) は梁端における各値の転換、弾床梁と他の弾床梁又は普通の梁とを連結した際、接点の釣合を求めるのに用いられる。

§ 4 無限長さの弾床梁

序論で觸れたが、梁長を無限とする仮定は、実用上、大きな価値がある。梁長 $l = \infty$ 、従って $\alpha = 0$ としたとき、係数 α の値は次の通りである。

$$\Phi_M(M_0, \beta x) = e^{-\beta x}(\sin \beta x + \cos \beta x), \quad \Phi_M(0, \beta x) = e^{-\beta x} \sin \beta x, \quad \Phi_Q(M_0, \beta x) = -2e^{-\beta x}(\sin \beta x),$$

$$\Phi_Q(0, \beta x) = e^{-\beta x}(\cos \beta x - \sin \beta x), \quad \Phi_y(M_0, \beta x) = e^{-\beta x}(-\cos \beta x + \sin \beta x)$$

$$\Phi_y(0, \beta x) = -e^{-\beta x} \cos \beta x, \quad \Phi_\theta(M_0, \beta x) = 2e^{-\beta x} \cos \beta x, \quad \Phi_\theta(0, \beta x) = e^{-\beta x}(\cos \beta x + \sin \beta x)$$

従ってこの条件のとき (3-1) ~ (3-4) は次のようになる。

$$y_0 = \frac{1}{2EI\beta^2} \left\{ -M_0 - \frac{Q_0}{\beta} \right\} \quad (4-1)$$

$$\theta_0 = \frac{1}{2EI\beta} \left\{ 2M_0 + \frac{Q_0}{\beta} \right\} \quad (4-2)$$

$$M_0 = 2EI\beta^2 \left\{ y_0 + \frac{\theta_0}{\beta} \right\} \quad (4-3)$$

$$Q_0 = 2EI\beta^3 \left\{ -2y_0 - \frac{\theta_0}{\beta} \right\} \quad (4-4)$$

§ 5 応用例

(1), (2)はそれぞれ対応する図のよりの条件で上記各式より導いたものである。

$$(1) \dots \Phi_1 = \Phi_\theta(0, \beta x_1) \cdot \Phi_M(M_0, \alpha, \beta x_1) - \Phi_\theta(M_0, \beta x_1) \cdot \Phi_M(0, \alpha, \beta x_1)$$

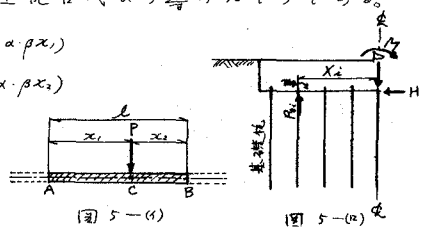
$$\Phi_2 = \Phi_\theta(0, \beta x_2) \cdot \Phi_M(M_0, \alpha, \beta x_2) - \Phi_\theta(M_0, \beta x_2) \cdot \Phi_M(0, \alpha, \beta x_2)$$

$$M_0 = \frac{P}{4\beta} \left\{ 1 - (\Phi_1 + \Phi_2) \right\}$$

$$(2) \dots f = -\frac{\beta^2}{M} \cdot \frac{\sum X_i^2}{N} \cdot \frac{1}{\mu_2} \quad F = N \left\{ \frac{M_0}{\mu_2} - \frac{M_0}{\mu_1} + f \right\}$$

$$m_0 = -\frac{1}{F} \left\{ \frac{M_0}{\mu_1} \cdot \frac{H}{\beta} \cdot f + \left(\frac{M_0}{\mu_2} - \frac{M_0}{\mu_1} \right) M \right\}$$

$$P_{y_i} = -\frac{P}{N} + (M + N \cdot m_0) \cdot \frac{X_i}{\sum X_i^2}$$



こゝに m : 枕頭における横縦方向反力係数比 $= \frac{F_y}{E_v}$, $E_h = \frac{\sigma^h}{P_h}$, $E_v = \frac{\sigma^v}{P_v}$

N : 枕の本数 X_i : 枕頭の位置

$$M_1 = \mu_Q(M_0, \alpha), \quad M_2 = \mu_Q(0, \alpha)$$

$$M_3 = -\mu_M(M_0, \alpha), \quad M_4 = -\mu_M(0, \alpha)$$

m_0 : 枕頭の曲げ $\epsilon - x \pm l$ P_{y_i} : 鉛直反力

以上